

复合载体夯扩桩在新乡市行政中心综合办公楼工程中的应用

王中军 杨友银 高荣洲

蔡景献

(新乡市建筑设计研究院 453003) (中铁隧道集团有限公司 新乡 453003)

[摘要] 结合一工程实例的复合载体夯扩桩设计、施工、检测,介绍了该桩在新乡地区应用时的承载特点及使用效果。证明了该桩在液化地基中应用的可行性,并具有较好的经济效益。

[关键词] 复合载体夯扩桩 单桩承载力特征值 液化地基 经济效益

Application of Ram-composite Piles with Composite Bearing Base in Engineering of Xinxiang Adminstration Office/
Wang Zhongjun¹, Yang Youyin¹, Gao Rongzhou¹, Cai Jingxian² (1 Xinxiang Institute of Achitecture, Xinxiang 453003, China; 2 China Railway Tunnel Group Co., Ltd., Xinxiang 453003, China)

Abstract: Through the design and construction and testing of the ram-compaction piles with composite bearing base in a real engineering, this paper introduces the bearing characters of the technology and settlement observation result of the building. This example proves the feasibility and benefits of the ram-compaction piles with composite bearing base in the application of liquefaction ground, and the technology is economical.

Keywords: ram-compaction piles; composite bearing base; bearing capacity; liquefaction ground; economic benefits

在黄河冲积平原地貌及古河道地层,经常遇到液化地基。在液化地基上进行基础设计,一般采用桩基或碎石桩复合地基。近年来,复合载体夯扩桩在新乡地区也得到了应用。由于桩长短,且施工速度快,使其显示出明显的优越性。基础上部荷载通过桩身穿过液化土层传至下部复合载体再进行扩散,有效地解决了地基液化问题。以新乡市行政中心综合办公楼1#楼工程为例,介绍了复合载体夯扩桩的设计、施工、检测过程,可为同类型工程设计提供一些设计经验。

一、工程概况

新乡行政综合办公楼位于新乡市东新城区内,包括1#~4#楼。其中1#~3#为裙楼,是4层框架结构。岩土工程勘察资料揭示,地基土层承载力不能满足设计要求,须进行地基处理,各土层物理力学性质指标见表1。采用复合载体夯扩桩载体基础,桩径为Φ410,桩长5.0~5.3m,单桩承载力设计值为900kN,桩基平面见图1。

场地地下水稳定水位埋深1.0~3.0m,场区20.0m深度内层③粉土为液化层,属中等液化场地。

二、基础形式选择

该工程建筑抗震设防类别为乙类,要求全部消除液化沉陷,结合场地工程地质条件及上部荷载情况,此类型基础常采用钻孔灌注桩、干振碎石桩复合地基加筏片基础等。综合实际工程条件,可选择的处理方式:桩基直接穿透液化土层,基础将上部荷载传递到深层

土的物理力学指标

表 1

| 土层 | 厚度 (m) | w (%) | γ (kN/m ³) | I _L | e | E _s (MPa) | f _k (kPa) |
|----------|-----------|----------|---------------------------|----------------|-------|-------------------------|-------------------------|
| ①素填土 | 0.3~2.3 | 23.5 | 19.8 | 0.25 | 0.773 | 5.7 | 90 |
| ②粉质粘土 | 0.7~2.6 | 23.9 | 19.5 | 0.34 | 0.878 | 4.9 | 120 |
| ③粉土 | 0.8~2.8 | 25.7 | 19.7 | 0.75 | 0.872 | 4.9 | 90 |
| ④粉质粘土夹粉土 | 0.5~2.8 | 26.3 | 19.7 | 0.64 | 0.857 | 6.4 | 150 |
| ⑤粉质粘土夹粉土 | 0.5~2.0 | 23.2 | 20.9 | 0.40 | 0.862 | 6.8 | 140 |
| ⑥粉细砂 | 11.7~16.5 | 19.5 | 20.4 | — | 0.572 | 17.4 | 250 |
| ⑦粉质粘土夹粉土 | 5.8~12.1 | 25.0 | 20.2 | 0.45 | 0.667 | 9.6 | 320 |
| ⑧粉细砂 | 1.8~6.8 | 19.1 | 20.5 | — | 0.549 | 14.3 | 270 |

土体;充分利用桩间土承载力采用复合地基受力,通过振冲工艺消除地基土的液化;采用复合载体夯扩桩基础。这三种基础形式都能满足设计要求,其特点分别为:1)钻孔灌注桩为传统桩型,可靠度高,缺点为:造价高、工期长,地下水位浅,需泥浆护壁成孔施工,会对周围环境造成污染;2)碎石桩复合地基易施工、工效快,但干振碎石桩基础外须设计围护桩,受场地条件限制,周围维护桩无法施工,且±0.00以下综合造价高,震动和噪音也较大;3)复合载体夯扩桩为新型施工工艺,造价低、工期短,具有显著的社会效益,且在新乡地区已有成功的设计施工经验,唯一的缺点为在施工时有震感。

以1#楼工程为例,对三种基础形式±0.00以下的经济性做定量分析,如表2所示。

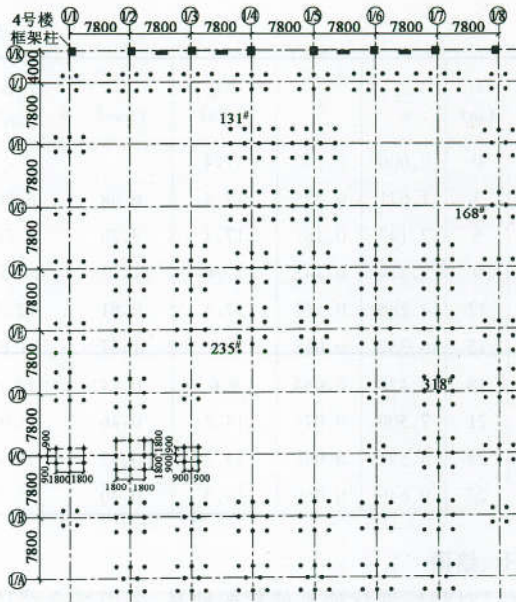


图 1 基础平面布桩图

各种地基处理方案的经济对比 表 2

| 基础类型 | | 桩径 (mm) | 桩长 (m) | 造价 (万元) | ± 0.00 以下 造价(万元) |
|-------------|-------------|------------|-----------|------------|-------------------------|
| 钻孔桩基 | 承台+梁灌注桩 | — 600 | — 20.0 | 91 119 | 210 |
| 碎石桩加 筏片 | 筏片基础 碎石桩 | — 500 | — 6.0 | 102 80 | 182 |
| 复合载体 夯实桩 | 承台+梁 夯实桩 | — 410 | — 5.3 | 86 65 | 151 |

由表 2 可见,复合载体夯实桩造价低,具有明显的经济效益,是钻孔桩基的 71.9%,是碎石桩复合地基加筏片基础的 83.0%。由于该工艺单桩承载力高,桩长较其他桩短,施工周期也较短,经业主对比和专家论证后,决定在 1#~3# 楼采用复合载体夯实桩。

三、复合载体夯实桩设计

1. 单桩承载力特征值计算

根据岩土勘察报告,层⑥为粉细砂,承载力高,故选用该层作为复合载体夯实桩持力层。锤击沉管成孔,桩径为 410mm,根据层⑥土的土层分布,确定有效桩长 5.0~5.3m。依据《复合载体夯实桩设计规程》(JGJ/T135—2001),估算单桩承载力特征值如下:

$$R_a = u_p \sum q_{sia} l_i + q_{pa} A_e$$

式中 R_a 为单桩竖向承载力特征值,桩身断面周长 $u_p = 3.14 \times 0.41 = 1.287\text{m}$ 。

层⑥持力层承载力特征值 250kPa,自然地坪下埋深 8.0m,三击贯入度控制为 10cm,等效桩端计算面积 A_e 取 1.8m^2 ,则按国家标准《建筑地基基础设计规范》(GB50007—2002)计算,桩侧阻力特征值为:

$$\begin{aligned} u_p \sum q_{sia} l_i &= 1.287 \times (25 \times 1.2 + 27.5 \times 2.0) \\ &= 109.4 \text{ kN} \end{aligned}$$

经深度修正后的持力层承载力特征值为:

$$q_{pa} = f_{ak} + \eta_d \gamma_m (d - 0.5) = 475 \text{ kPa}$$

$$R_a = 109.4 + 475 \times 1.8 = 964.4 \text{ kN}$$

实际设计取值 $R_a = 900 \text{ kN}$ 。

桩身混凝土强度应满足: $Q \leq 0.7 f_c A_p$, 采用 C25 混凝土, $f_c = 11.9 \text{ N/mm}^2$, $A_p = 131958.5 \text{ mm}^2$, 则:

$$0.7 f_c A_p = 1099.2 \text{ kN} > 900 \text{ kN}$$

满足设计要求。

桩身配筋主筋为 7#~14#, 配筋率为 1.1%, 能够满足水平荷载受力要求, 箍筋采用 $\phi 6 @ 200$, 桩顶 1.5m 范围内加倍加密。

四、施工

复合载体夯实桩施工工艺为利用质量 3.5t、直径 355mm 的细长锤跟管锤击成孔, 施工设备为液压步履式夯实桩机, 施工依据《复合载体夯实桩设计规程》(JGJ/T135—2001)、《复合载体夯实桩施工与验收规程》(QB2002—01) 进行, 施工工艺流程为: 1) 复测桩位线; 2) 移桩机就位; 3) 随护筒锤击成孔至设计标高; 4) 填料夯实; 5) 测三击贯入度; 6) 夯填干硬性混凝土; 7) 下钢筋笼至设计标高; 8) 灌注混凝土; 9) 拔护筒; 10) 振捣混凝土。

场地层③土为中等液化粉土, 为避免施工时对邻桩的影响, 采取了如下措施: 施工顺序先内后外; 锤击成孔用低落距轻锤夯击成孔; 基桩采取跳打, 施工时间应在周围成桩混凝土终凝之后进行。

五、质量检测

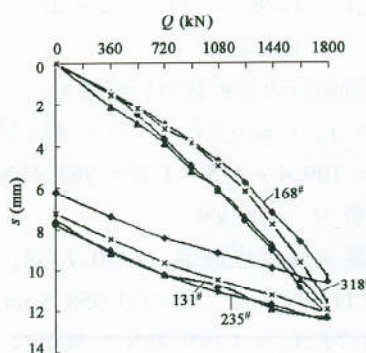
工程桩共 986 根, 业主委托黄河水利委员会勘测设计院物探总队做单桩静载荷试验 10 根, 其中 1# 楼共检测 4 根桩, 桩号分别为 131#、168#、235# 和 318#, 具体位置见基础平面图 1。采用慢速维持荷载法, 最大加载为 1800kN, 最大沉降为 10.56~12.36mm, 均未达到破坏, 经卸荷, 最大回弹量 4.41~4.69mm, Q-s 曲线均呈缓变型, 见图 2。表 3 为试验桩的施工参数。对全部工程桩做桩身完整性检测, 一类桩 968 根占总数的 98%, 二类桩 18 根占总数的 2%。整体工程质量满足设计要求, 该工程已投入使用一年, 业主很满意。

试桩施工参数 表 3

| 试桩 | 桩长 (m) | 桩径 (mm) | 填料 (块) | 三击贯入度 (cm) | 试验最大荷载 (kN) | 变形 (mm) |
|------|-----------|------------|-----------|---------------|----------------|------------|
| 131# | 5.1 | 410 | 450 | 9 | 1800 | 12.23 |
| 168# | 5.3 | 410 | 468 | 8 | 1800 | 10.56 |
| 235# | 5.0 | 410 | 483 | 9 | 1800 | 12.36 |
| 318# | 5.1 | 410 | 470 | 8.5 | 1800 | 11.89 |

表 4

| 分层 | z_i (m) | $\frac{z_i}{b}$ | α_i | E_{si} (kPa) | Δs_i (mm) | $\sum \Delta s_i$ (mm) |
|----|--------------|-----------------|------------|-------------------|----------------------|---------------------------|
| 1 | 0 | 0.000 | 0.250 | 17.4 | | |
| 2 | 3 | 1.071 | 0.225 | 17.4 | 6.08 | 6.08 |
| 3 | 6 | 2.143 | 0.181 | 17.4 | 3.70 | 9.78 |
| 4 | 9 | 3.214 | 0.142 | 17.4 | 1.73 | 11.51 |
| 5 | 12 | 4.286 | 0.114 | 17.4 | 0.81 | 12.3 |
| 6 | 15 | 5.357 | 0.098 | 9.6 | 1.57 | 13.87 |
| 7 | 18 | 6.428 | 0.084 | 9.6 | 0.74 | 14.6 |
| 8 | 21 | 7.500 | 0.074 | 14.3 | 0.46 | 15.07 |
| 9 | 24 | 8.571 | 0.066 | 14.3 | 0.33 | 15.4 |
| 10 | 27 | 9.640 | 0.060 | 14.3 | 0.40 | 15.8 |

图 2 部分载荷试验 Q - s 曲线

六、1# 楼沉降量

工程采用独立承台桩基，依据规程(JGJ/T135—2001)4.4.2 条，按分层总和法计算沉降：

$$s = \psi_s p_0 \sum (z_i \alpha_i - z_{i-1} \alpha_{i-1}) / E_{si}$$

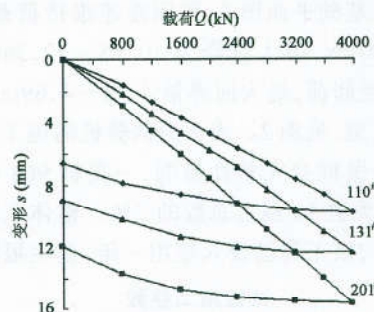
式中： ψ_s 为沉降计算经验系数； p_0 为对应荷载准永久组合下压缩层顶的平均附加应力(kPa)； E_{si} 为沉降计算范围内第 i 层土的压缩模量(kPa)； z_i ， z_{i-1} 分别为复合载体底面至第 i ， $i-1$ 层土底面的距离(m)； α_i ， α_{i-1} 分别为第 i ， $i-1$ 层土底面深度范围内平均附加应力系数，可按规范(GB50007—2002)规定采用。

按独立基础，群桩计算模式 $p_0 = 157$ kPa， ψ_s 取 1.0，计算深度 27 m，计算最终沉降结果见表 4，计算最终沉降结果为 15.8mm。

沉降观测资料，1#，2#，3# 楼使用一年后，最大沉降量 12.5mm，最小沉降量 9.8mm，最大沉降差 2.7mm。与计算结果基本一致，满足规范要求。

(上接第 27 页)

经试验，5 根桩的单桩承载力都满足设计要求。竖向静载荷试验桩施工参数见表 2， Q - s 曲线见图 2。

图 2 载荷试验 Q - s 曲线

四、结语

通过晋元庄小区商场工程的地基处理中复合载体扩桩的应用可见，复合载体扩桩在北京地区的多高层建筑地基处理中具有明显的优势，尤其在杂填土

七、结语

(1) 对浅层液化地基或软弱地基，采用复合载体扩桩造价经济，质量可靠，与钻孔灌注桩、碎石桩复合地基相比，节约投资 17%~28%。

(2) 该桩在荷载作用下沉降量小，质量稳定，施工速度快，能消纳大量碎砖，有较好的技术效益和社会效益。在黄河冲积平原地貌，该桩有很好的推广价值。

参 考 文 献

1. 建筑桩基技术规范(JGJ94—94). 中国建筑工业出版社, 1994.
2. 复合载体扩桩设计规程(JGJ/T135—2001). 中国建筑工业出版社, 2001.
3. 建筑地基基础设计规范(GB5007—2002). 中国建筑工业出版社, 2002.

试桩参数

| 桩号 | 桩径 (mm) | 桩长 (m) | 三击贯入度 (cm) | 设计荷载 (kN) |
|------|------------|-----------|---------------|--------------|
| 110# | 600 | 3.5 | 15 | 2 000 |
| 131# | 600 | 3.3 | 14 | 2 000 |
| 201# | 600 | 3.9 | 12.5 | 2 000 |

较厚、浅层地基土承载力较低的地基处理中该技术优势尤为明显。

参 考 文 献

1. 建筑抗震设计规范(GB50010—2002). 中国建筑工业出版社, 2001.
2. 建筑桩基技术规范(JGJ94—94). 中国建筑工业出版社, 1995.
3. 地下工程防水技术规范(GB50108—2001). 中国建筑工业出版社, 2001.
4. 复合载体扩桩设计规程(JGJ/T135—2001). 中国建筑工业出版社, 2001.
5. 地基基础设计规范(GB5007—2002). 中国建筑工业出版社, 2002.
6. 人民防空地下室设计规范(GB50038—94). 中国建筑工业出版社, 1995.

表 2